

**ALBUM FOTOGRÁFICO
HOJA DE FUSTIÑANA**

26-12

283

JUNIO/91

FOTO 1.- 26-12 G.S. - O.S. 9501 - Tubificación en limos y arcillas, cuaternarios (Barranco de Andarraguia).

Foto 2. 26-12 . G.S.- O.S. - 9502. Tubificaciones en limos y arcillas.(Barranco de Andarraguia).

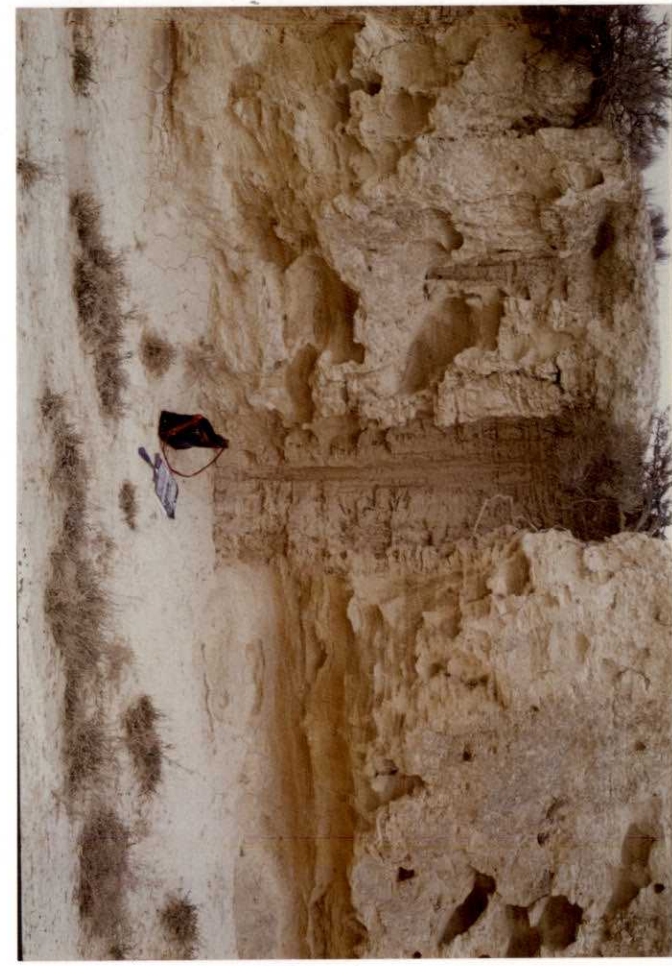


Foto 3. 26-12. G.S. - O.S.- 9503. Tubificaciones en limos y arcillas. (Barranco de Andarraguia).

FOTO 4. 26-12. G.S. - O.S.- 9504. Yesos tabulares internados entre niveles arcillosos. Oligoceno-Mioceno inferior. Barranco de la Cuesta.



FOTO 5. 26-12. G.S. - O.S.- 9505. Cerro denominado Balcón de Pilatos. Alternancias de calizas, arcillas y algún paquete areniscoso. Mioceno inferior.

FOTO 6. 26-12. G.S. - O.S.- 9506. Vista general de los cerros próximos al Balcón de Pilatos. Alternancia de calizas, arcillas y algún canal areniscoso. Mioceno inferior.

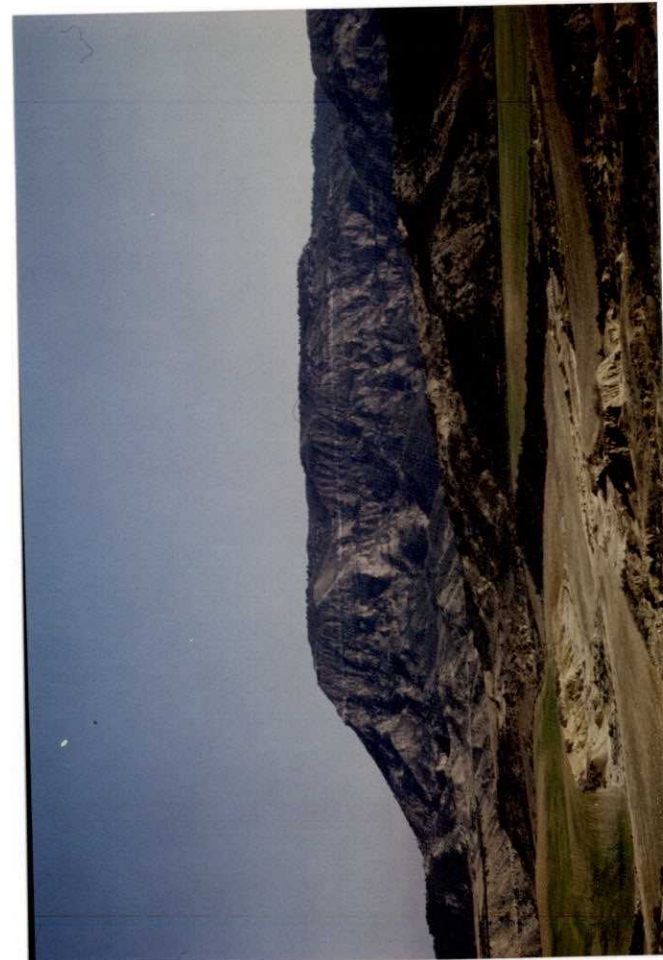
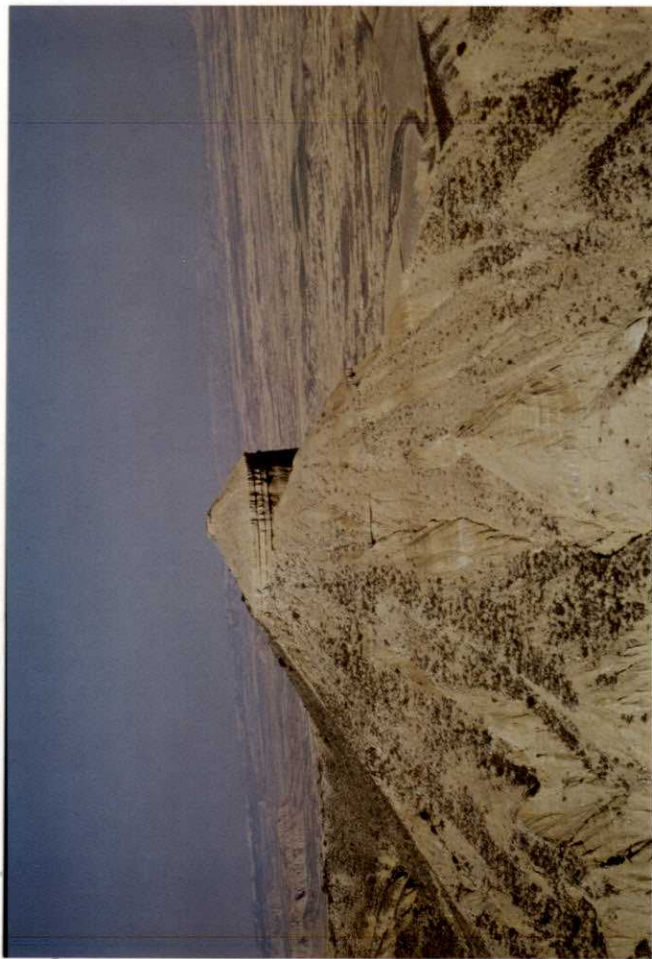


FOTO 7. 26-12. G.S. - O.S.- 9507. Plana formada por materiales calcáreos. Zona del Balcón de Pilatos. Mioceno.

FOTO 8. 26-12- G.S. - O.S.- 9508. Vista general de los planos formados por alternancias de calizas y arcillas.
Zona de las Pilas. Mioceno.



FOTO 9. 26-12. G.S. - O.S.- 9509. Plano de falla afectando a calizas miocenas.

FOTO 10. 26-12. G.S. - O.S.- 9510. Planos formados por alternancia de niveles calcáreos y arcillosos. Zona de las Pilas.



FOTO 11. 26-12. G.S. - O.S.- 9511. Alternancia de niveles arcillosos y calcáreos. El techo lo forma un nivel calcáreo. Zona del Rincón del Bú. Mioceno.



FOTO 11. 26-12. G.S. - O.S.- 9512. Alternancia de niveles arcillosos y calcáreos. Zona de la Loma de la Madera. Mioceno.

foto 13. 26-12. G.S. - O.S.- 9513. Alternancia de niveles arcillosos y calcáreos. Mioceno. Zona del Balcón de Pilatos.

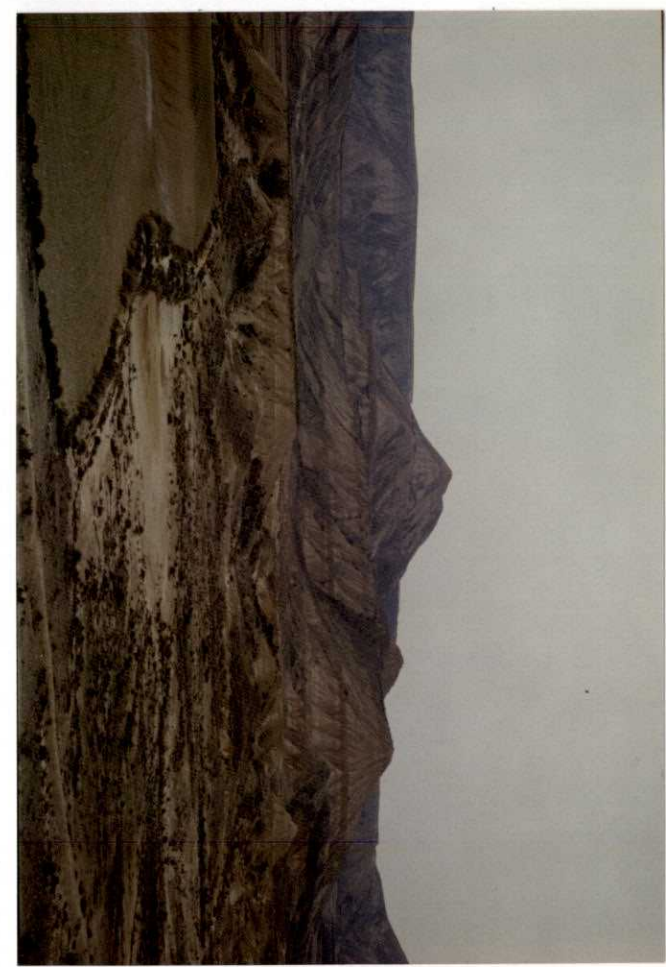


FOTO 14. 26-12. G.S. - O.S.- 9514. Alternancia de niveles calcáreos y arcillosos. Zona del Balcón de Pilato.

FOTO 15. 16-12. G.S. - O.S.- 9515. Llanura formada por limos y arcillas cuaternarios. Zona del Barranco de Andarraguia.



FOTO 16. 26-12. G.S. - O.S.- 9516. Proceso de calichificación que afecta a calizas situadas en el techo de la Plana Negra.

FOTO 17. 26-12. G.S. - O.S.- 9517. Proceso de calichificación que afecta a calizas situadas en el techo de la Plana de la Negra.



FOTO 18. 26-12. G.S. - O.S.- 9518. Vista general desde la Plana Negra. Se observa la alternancia de paquetes calcáreos y arcillosos. Al fondo el Cerro del Fraile.

FOTO 19. 26-12. G.S. - O.S.- 9519. Vista del Cerro de Fraile desde el sur. Alternancia de calizas y arcillas. Mioceno.



FOTO 20. 26-12. G.S. - O.S.-9520. Paleosuelo con grietas de retracción. Area próxima a la Plana de la Bandera.
Mioceno.

FOTO 21. 26-12. G.S. - O.S.-9521. Paleosuelo con grietas de retracción. Area próxima a la Plana de la Bandera.
Mioceno.



FOTO 22. 26-12. G.S. - O.S.-9522. Vista general de la alternancia de capas calcáreas y arcillosas miocenas.
Zona de la Linosa.

FOTO 23. 26-12. G.S. - O.S.- 9523. Vista general de la alternancia de capas calcáreas y arcillosas miocenas.
Zona de la Linosa.



FOTO 24. 26-12 G.S. - O.S..9524 - Alternancia de capas calcáreas y arcillas inclinadas. Mioceno. Barranco de la Nosa.

FOTO 25. 26-12 G.S. - O.S.9525 - Pequeñas fracturas que afectan a una capa fina de caliza, inserta en materiales arcillosos. Mioceno. Km. 19.500 de la carretera de Tauste a Tudela.



FOTO 26. 26-12 G.S. - O.S..9526 - Abarrancamientos cuaternarios llenos por cantos, insertos en arcillas y finas calizas miocenas. Km.19.5 carretera Tauste a Tudela.

FOTO 27. 26-12 G.S. - O.S..9527 - Cuerpo calcáreo situado entre materiales arcillosos y limosos. Carretera Fustiñana-Tauste km 14.



FOTO 28. 26-12 G.S. - O.S..9528 - Pequeñas fracturas que afectan a una capa fina de caliza, inserta en materiales arcillosos. Mioceno. Km. 19.500 de la carretera de Tauste a Tudela.

FOTO 29. 26-12 G.S. - O.S..9529 - Proceso de calichificación que afecta a calizas que situadas en el techo de la Plana Negra.



FOTO 30. 26-12 G.S. - O.S. 9530 - Vista panorámica desde El Portal de los materiales de las unidades 2 y 3 en extremo NO de la hoja.

FOTO 31. 26-12 G.S. - O.S. 9531 - Vista panorámica desde El Portal del escarpe que constituyen las unidades 2, 3, 4 y 5 en la zona del Balcón de Pilatos (extremo NO de la hoja).



FOTO 32. 26-12 G.S. - O.S. 9532 - Vista panorámica desde El Portal del escarpe que constituyen las unidades 2, 3, 4 y 5 en la zona del Balcón de Pilatos (extremo NO de la hoja).



FOTO 33. 26-12 G.S - O.S. 9533 - Vista panorámica desde El Portal del escarpe que constituyen las unidades 2, 3, 4 y 5 en la zona del Balcón de Pilatos (extremo NO de la hoja). Se observa bien la capa de calizas (a) que determina la base de la unidad 4.



FOTO 34. 26-12 G.S - O.S. 9534 - Vista panorámica desde El Portal del escarpe que constituyen las unidades 3 y 4 en la zona del Balcón de Pilatos (extremo NO de la hoja). Se observa bien la capa de calizas (a) que determina la base de la unidad 4.

FOTO 35. 26-12 G.S - O.S. 9535 - Vista de los materiales detríticos y carbonatados que constituyen la unidad 3 y base de la unidad 4, sobre la pista que sube al Portal (extremo NO de la hoja). Se observa bien la capa de calizas (a) que determina la base de la unidad 4.

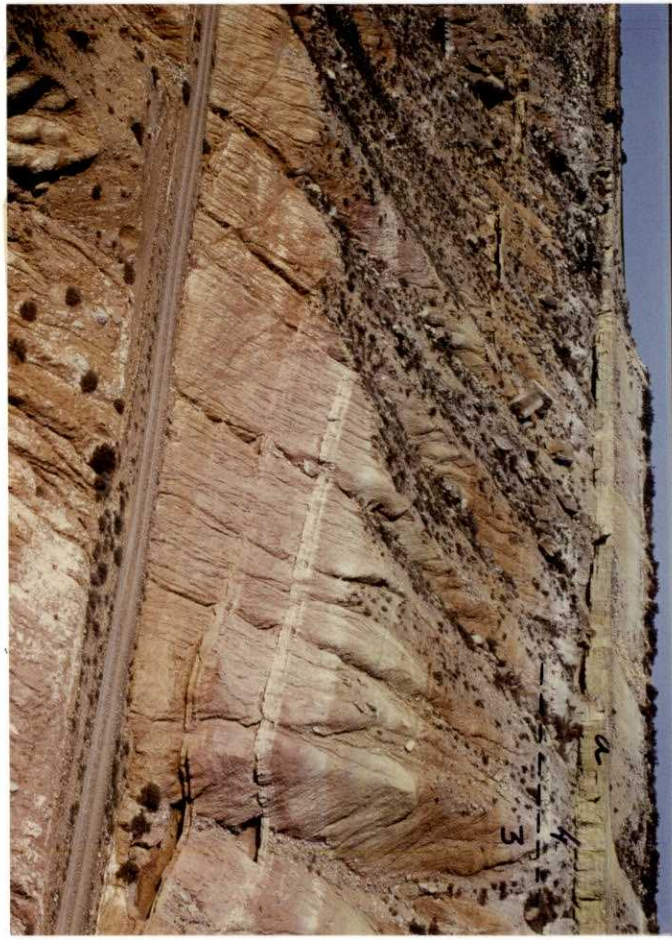
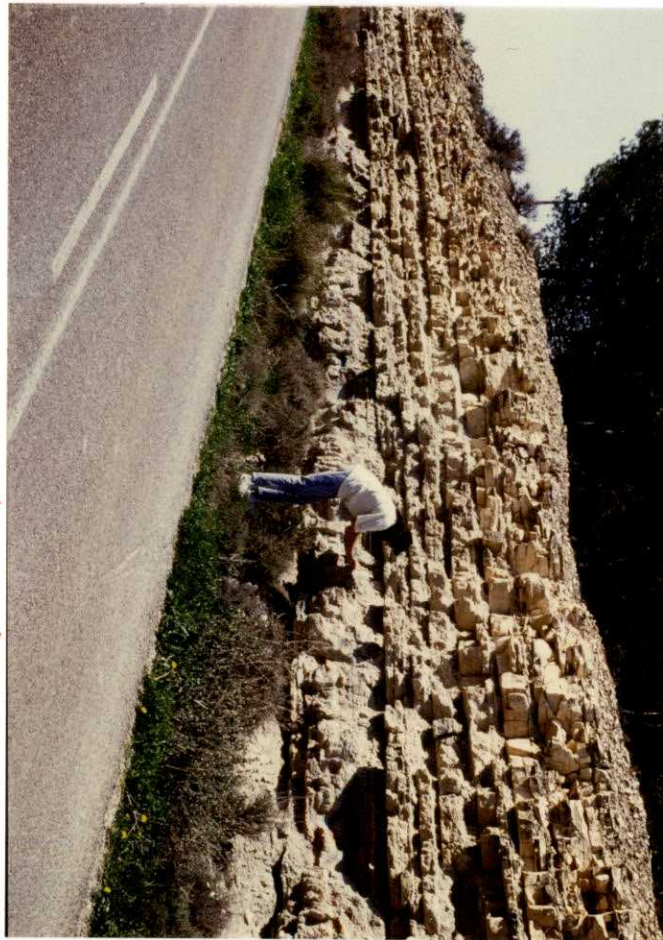


FOTO 36. 26-12 G.S - O.S. 9536 - Vista panorámica sobre la vertiente Norte del Barranco de Tudela. Se distinguen las calizas de la unidad 5, explotadas en una cantera, y los materiales arcillosos y carbonatados de las unidades 6 y 7 al fondo.

FOTO 37. 26-12 G.S - O.S. 9537 - Corte de las calizas de la unidad 5 en la carretera de Sancho Abarca al Sabinar.

*PASA A 321 (26-13) TAUSTE, POR ESTAR FUERA DE PLANO.



*9537: PASA A 321 (2C-13) TAUSTE, POR ESTAR
FUERA DE PLANO.

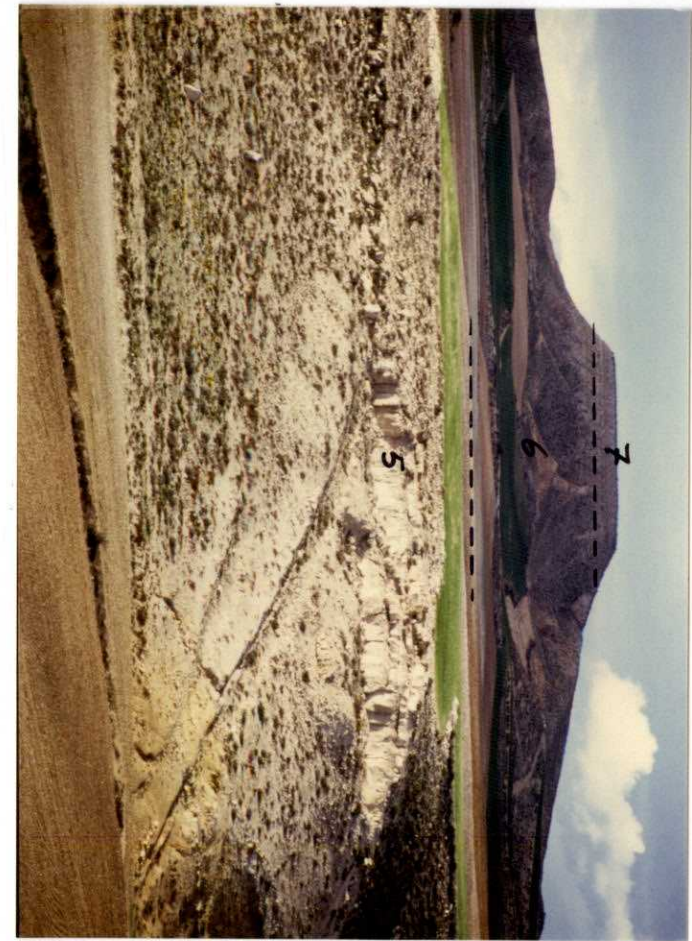


FOTO 38. 26-12 G.S - O.S. 9538 - Estructuras de hummockies en una de las capas de caliza de la unidad 5, en las proximidades de la localidad del Sabinar.

FOTO 39. 26-12 G.S - O.S. 9539 - Corte de las calizas de la unidad 5 en las proximidades de la localidad del Sabinar. Se observa su carácter más margoso. La capa superior se muestra con mayor detalle en la foto anterior.

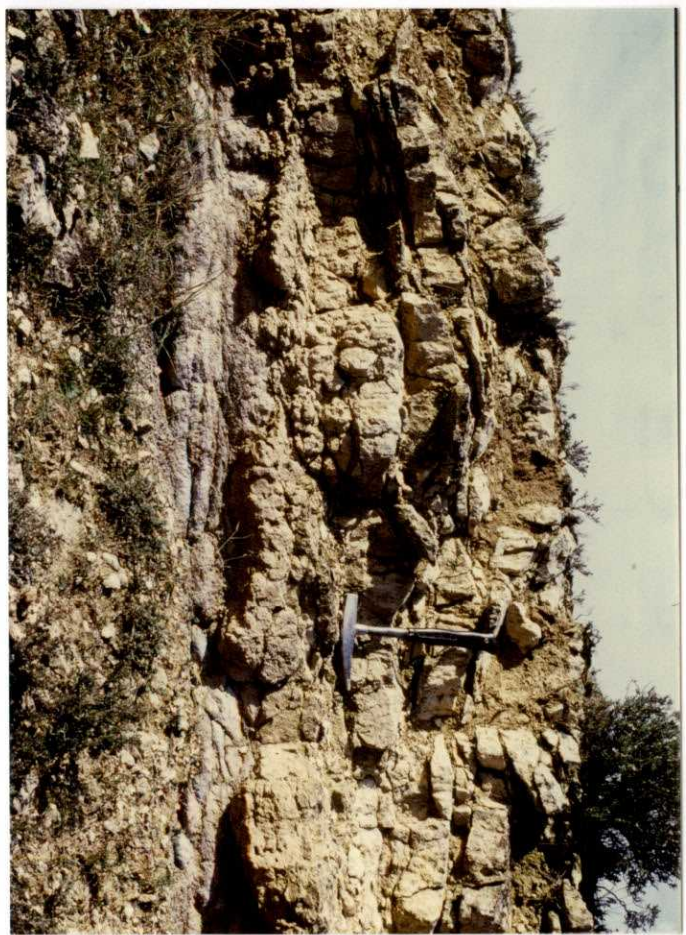
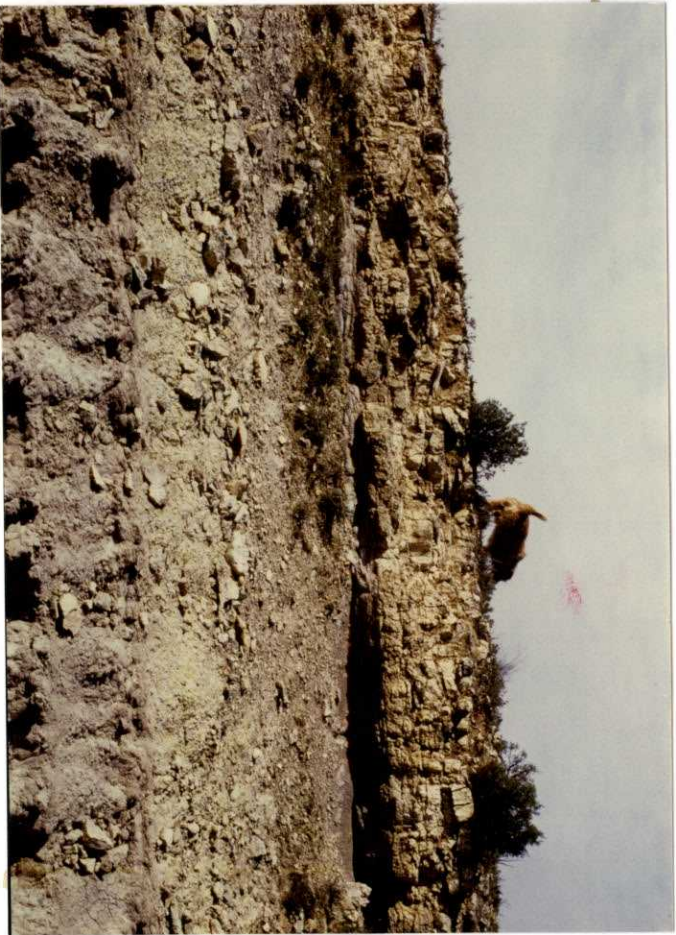


FOTO 40. 26-12 G.S - O.S. 9540 - Estructuras de hummockies (h) en una de las capas de caliza de la unidad 5, en las proximidades de las casas de Moreno, en el extremo SE de la hoja.

FOTO 41. 26-12 G.S - O.S. 9541 - Capas nodulares de yeso correspondientes a los niveles superiores de la unidad 8, en las proximidades de Valpierde, en el sector SE de la hoja.



FOTO 42. 26-12 G.S - O.S. 9542 - Capas nodulares de yeso correspondientes a los niveles superiores de la unidad 8, en las proximidades de Valpierde, en el sector SE de la hoja.

FOTO 43. 26-12 G.S - O.S. 9543 - Vista panorámica de la serie de Los Estrechos. Se distinguen las unidades 8, 7, 9 y 10. Dentro de la unidad 8 destacan los dos horizontes rojos con paleocanales característicos de esta unidad (a y b) y el tramo yesífero superior (c) que forma el techo de la misma.

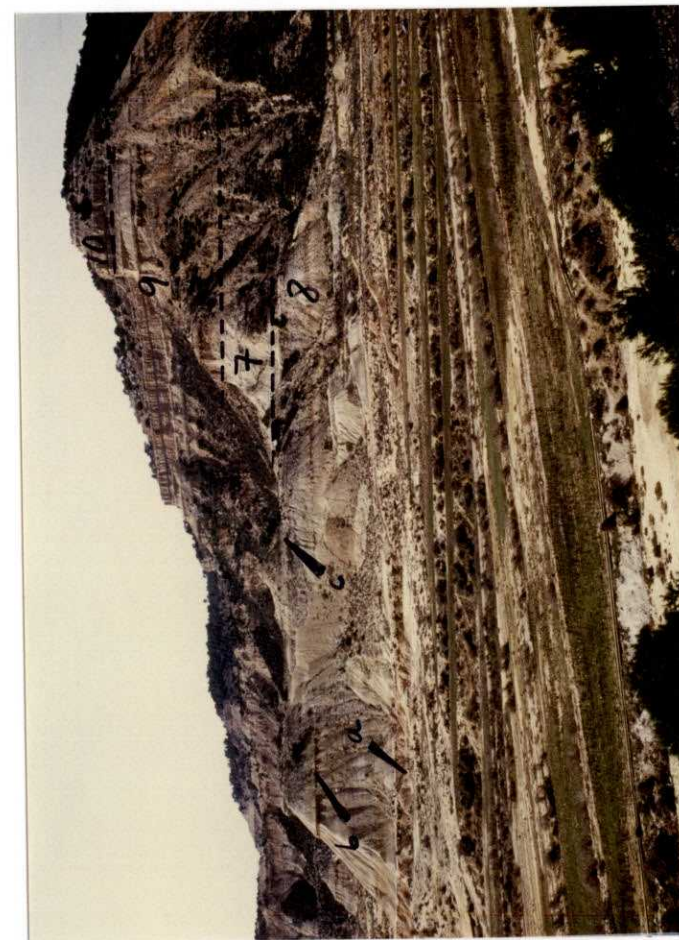


FOTO 44. 26-12 G.S - O.S. 9544 - Vista panorámica de la serie de Sancho Abarca, en la parte SE de la hoja. En primer plano se distinguen bien las unidades 9 y 10. Al fondo destacan los relieves de la Plana Negra, constituidos por las unidades 11 y 12.

FOTO 45. 26-12 G.S - O.S. 9545 - Vista panorámica de la serie de Sancho Abarca, en la parte SE de la hoja. En primer plano se distinguen bien las unidades 9 y 10. Al fondo destacan los relieves de la Plana Negra, constituidos por las unidades 11 y 12

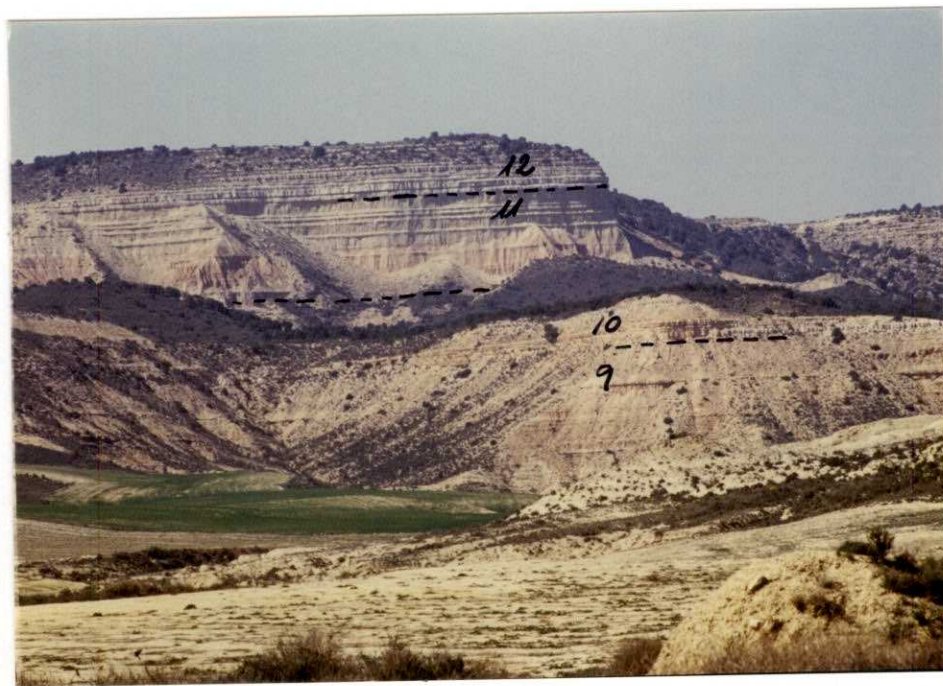
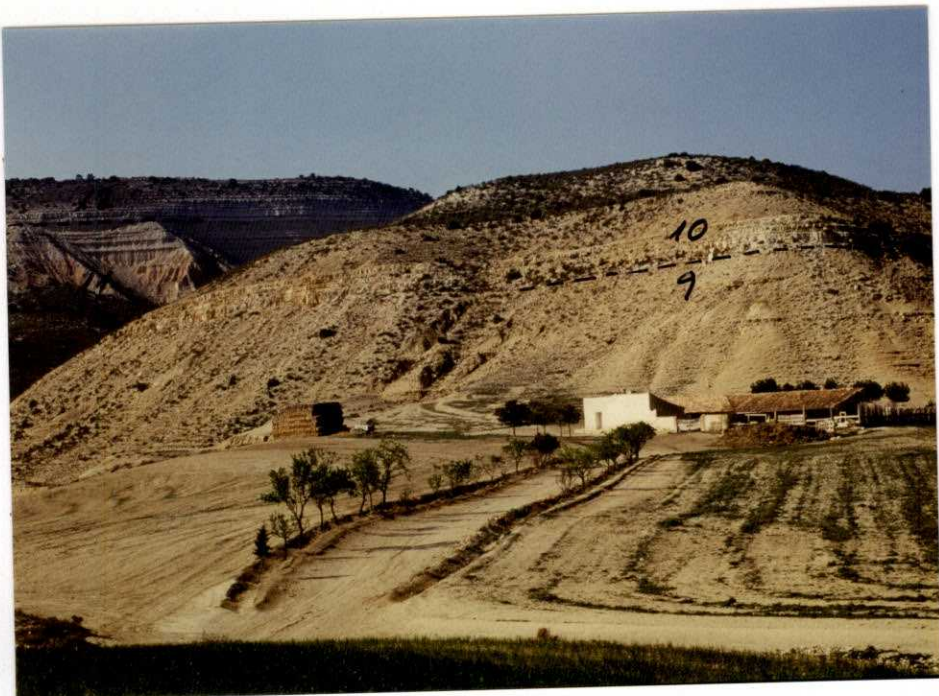


FOTO 46. 26-12 G.S - O.S. 9546 - Vista panorámica del escarpe oriental de la Plana Negra, donde se distinguen bien los materiales de las unidades 11 y 12.

FOTO 47. 26-12 G.S - O.S. 9547 - Vista panorámica del escarpe meridional de la Plana Negra, donde se distinguen bien los materiales de las unidades 11 y 12.

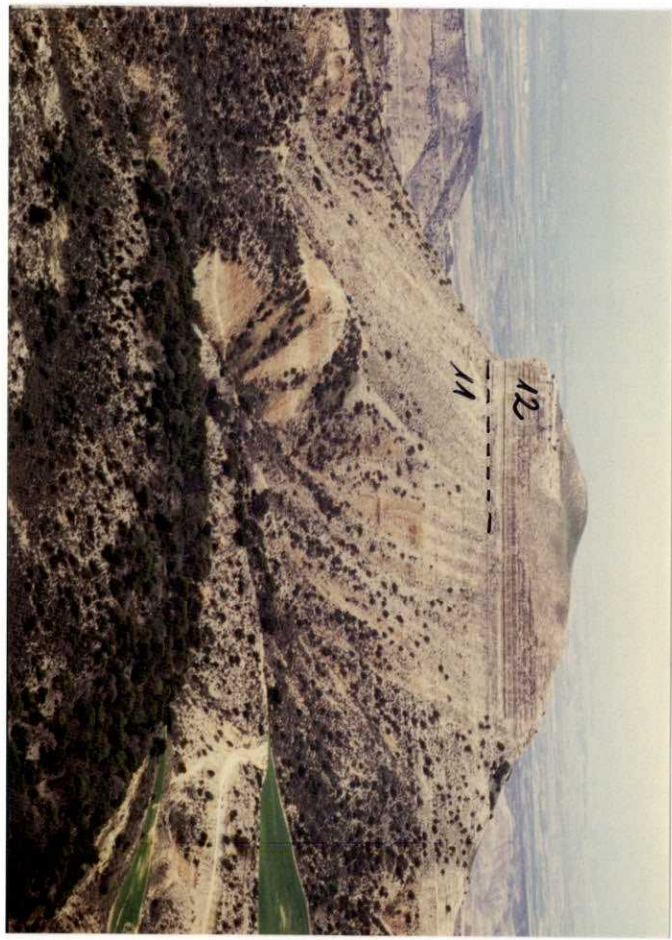


FOTO 48. 26-12 G.S - O.S. 9548 - Vista panorámica de la Plana Negra por su extremo occidental (Umbría de la Negra). Se distinguen los materiales de las unidades 11 y 12. En primer plano se observa la llanura estructural que determinan las calizas de la unidad 10.

FOTO 49. 26-12 G.S - O.S. 9549 - Detalle del techo de una capa de caliza de la unidad 12, donde se aprecia bien una característica estructura de bioturbación.

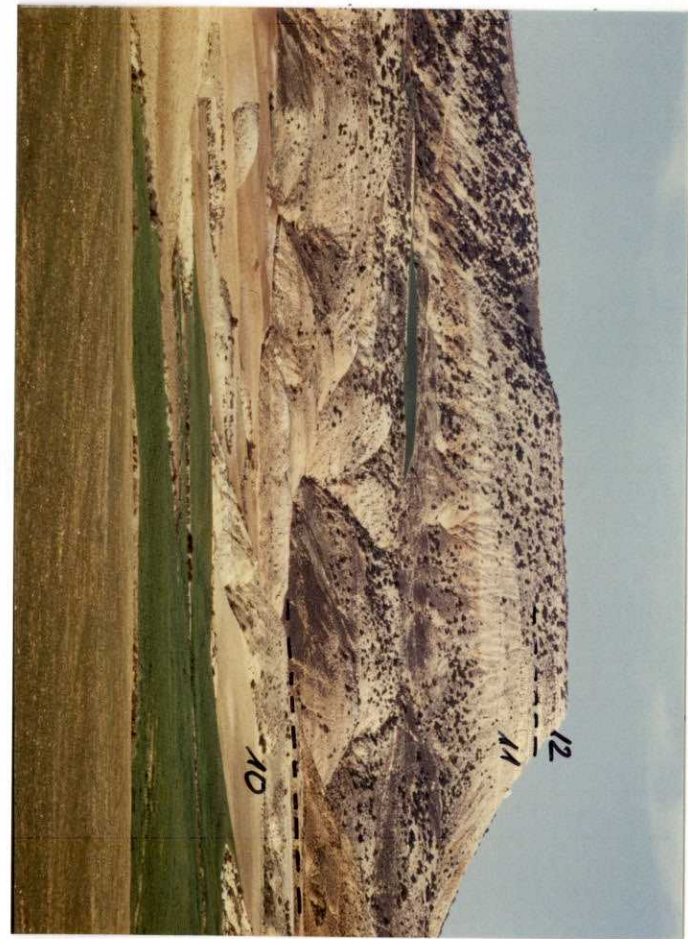


FOTO 50. 26-12 G.S - O.S. 9550 - Detalle de una capa de caliza de la unidad 12, donde se aprecia bien una característica estructura de bioturbación a techo de la misma y su aspecto masivo en la parte inferior.

FOTO 51. 26-12 G.S - O.S. 9551 - Contacto entre las unidades 11 y 12 en la pista que sube al Santuario de Sancho Abarca.

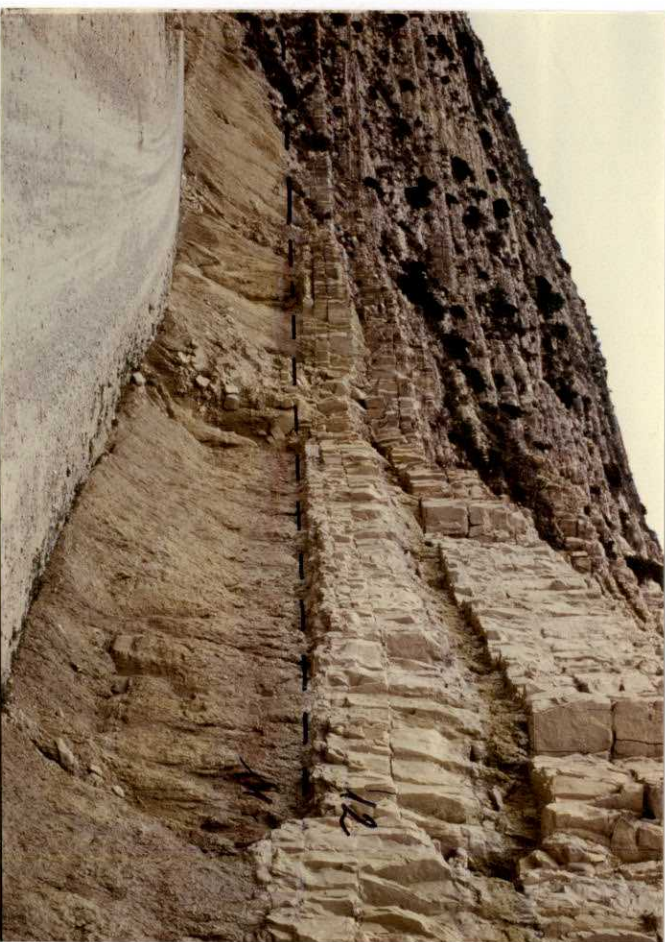


FOTO 52. 26-12 G.S - O.S. 9552 - Contacto entre las unidades 11 y 12 en la pista que sube al Santuario de Sancho Abarca.

FOTO 53. 26-12 G.S - O.S. 9553 -Aspecto de las margas y calizas que constituyen la unidad 13 en la Plana Negra. En la parte culminante de este relieve se situa el Santuario de Sancho Abarca.

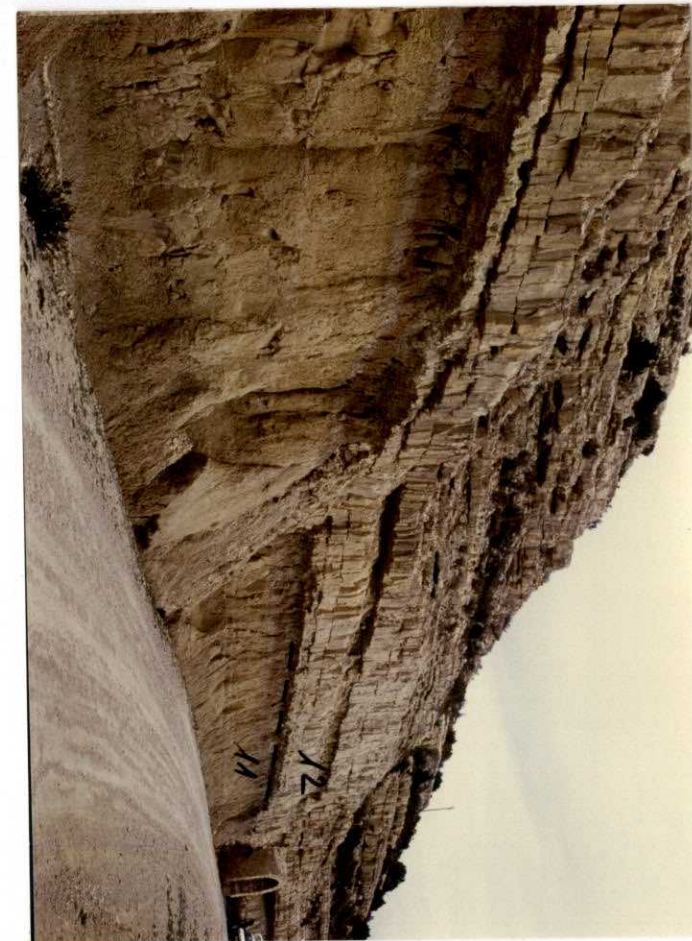


FOTO 54. 26-12 G.S. - G.P..9554 - Barranco con incisión por pipping situado al NW de la plataforma estructural de Valdecrus.



FOTO 55. 26-12 G.S. - G.P.9555 - Superficie estructural sobre materiales de edad Burdigaliense (Aragoniente).

FOTO 56. 26-12 G.S. - G.P.9556 - Nivel de terraza con cantos de cuarcita y caliza localmente cementados. La Juncarella. Rio Arba de Biel.

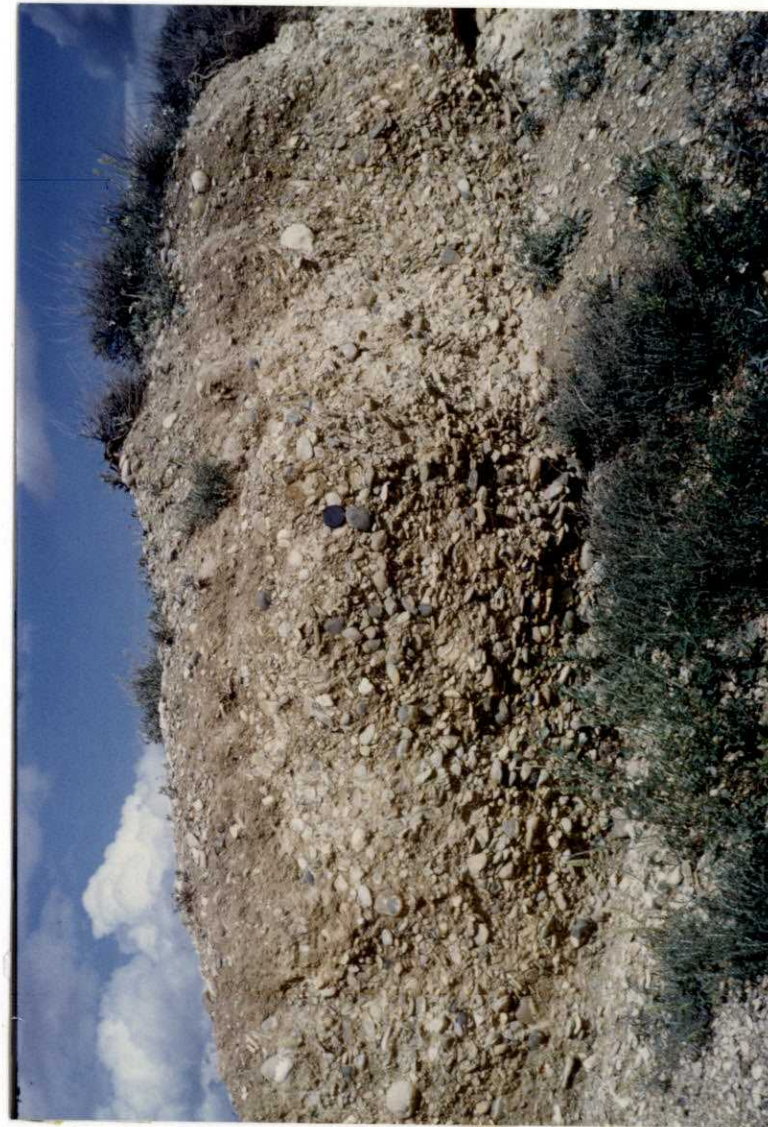
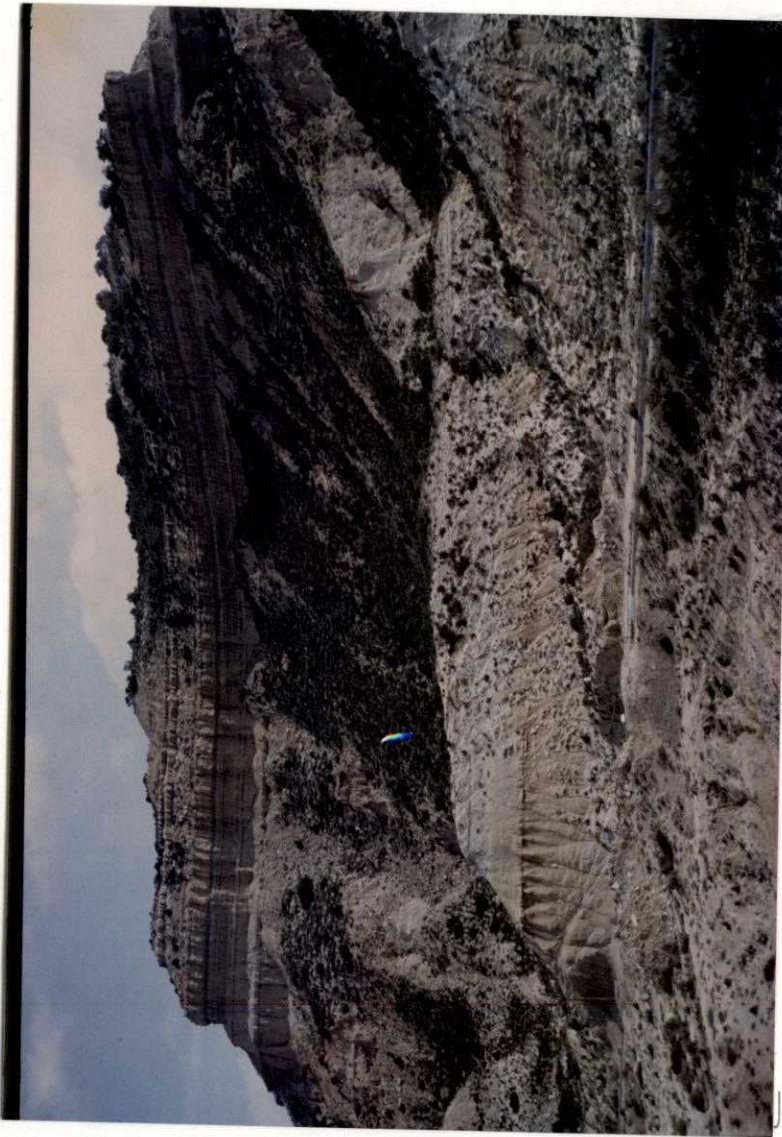


FOTO 57 26-12 G.S. - G.P..9557 - Glacis de acumulación km 30. Pista de servicio de la Acequia de Cinco Villas.

FOTO 58. 26-12 G.S. - G.P.9558 - En primer término, depósitos aluvial-coluvial. Al fondo, los relieves de la Plana de los Estrechos. Pista de servicio del canal de Cinco Villas.

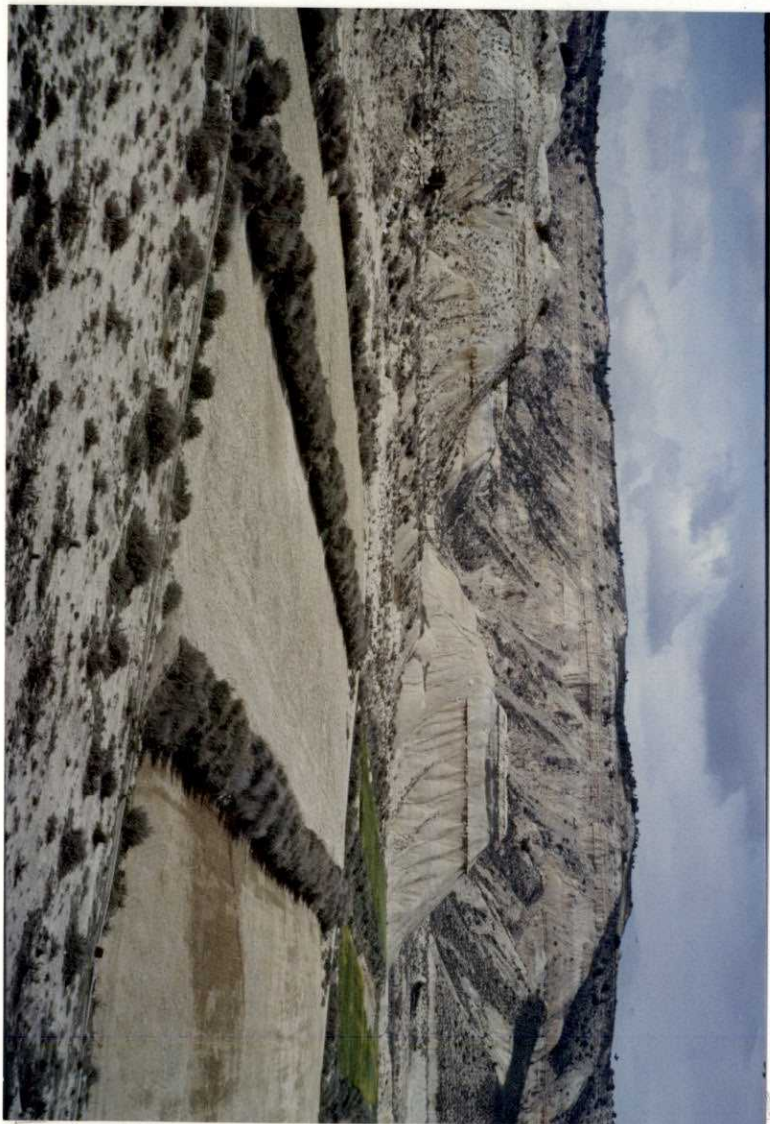
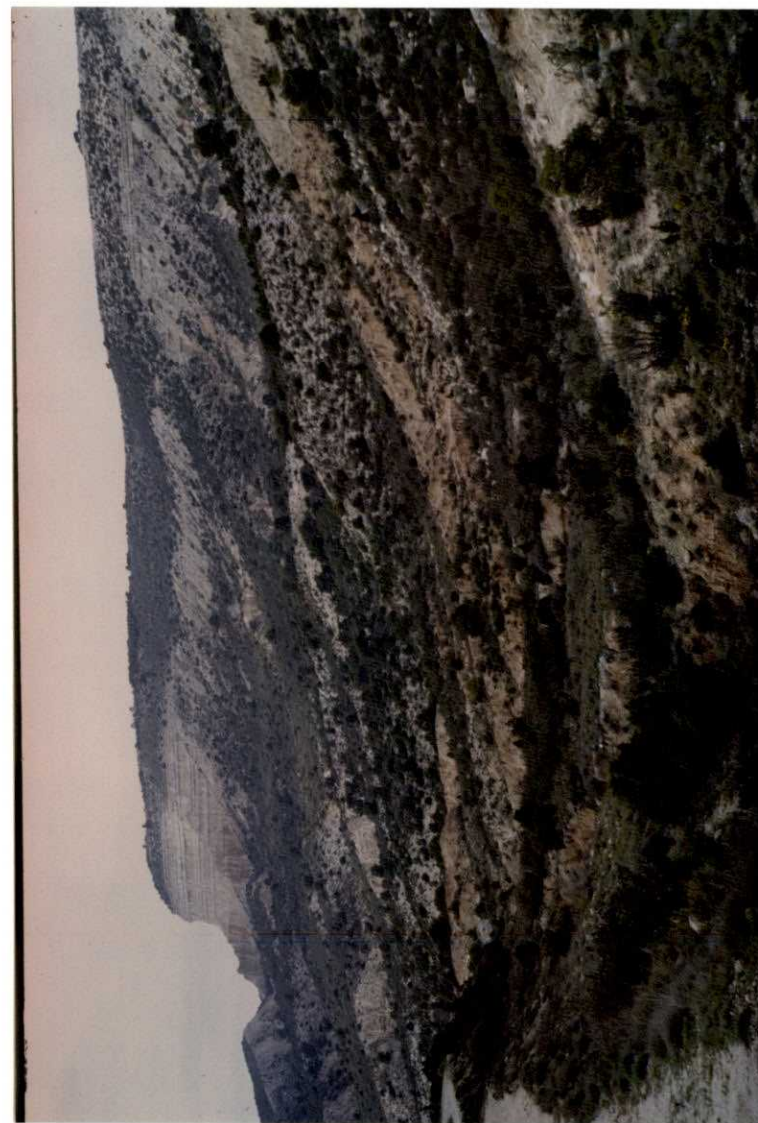
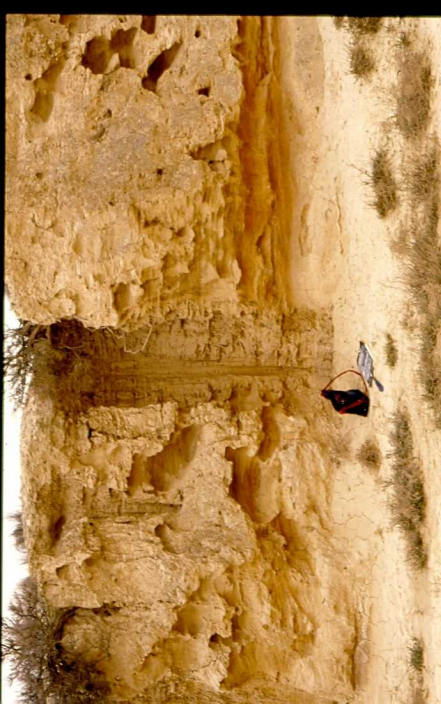


FOTO 59. 26-12 G.S. - G.P.9559 - Al fondo, detalle del frente de cresta oriental de la Plana de la Negra. En primer término, barranco con incisión por procesos de pipping. Vista desde la pista de acceso a la Ermita.





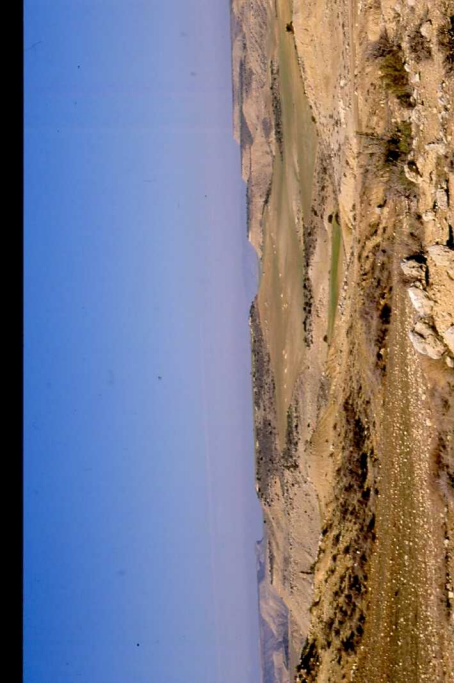
































ACHSAY



